

EEL 7100

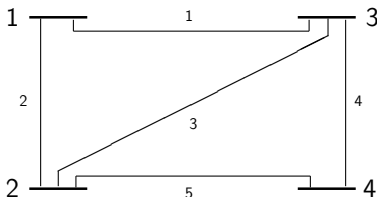
Exercício: Fluxo de Potência pelo Método de Newton-Raphson

Antonio Simões Costa

UFSC - LABSPOT

Exercício: Fluxo de Potência pelo método de N-R (I)

Dados de Barra



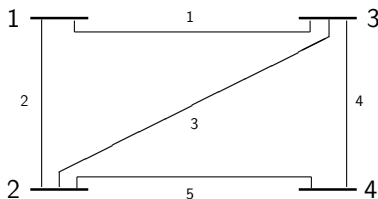
- Barra de folga: barra 1
- Barra PV: barra 3
- Barras PQ: barras 2 e 4

Tabela 1: Dados de barra

Barra	$V^0 \angle \delta^0$	$P_g + jQ_g$	$P_d + jQ_d$
1(V- δ)	1,00 $\angle 0^\circ$... + j...	0,00 + j0,00
2(P-Q)	1,00 $\angle 0^\circ$	0,0 + j0,0	1,50 + j0,30
3(P-V)	1,02 $\angle 0^\circ$	1,20 + j...	0,30 + j0,00
4(P-Q)	1,00 $\angle 0^\circ$	0,0 + j0,0	0,50 + j0,40

Exercício: Fluxo de Potência pelo método de N-R (II)

Dados de Ramo



- Barra de folga: barra 1
- Barra PV: barra 3
- Barras PQ: barras 2 e 4

Tabela 2: Dados de ramo

Linha	De	Para	$Z_{série}$	b_{shunt}
1	1	3	$0,010 + j0,10$	0,02
2	1	2	$0,020 + j0,20$	0,01
3	2	3	$0,010 + j0,10$	0
4	3	4	$0,002 + j0,40$	0
5	2	4	$0,030 + j0,20$	0

Fluxo de Potência pelo método de N-R (III)

Etapas:

- 1 Formação da matriz \mathbf{Y}_{barra} ;

Fluxo de Potência pelo método de N-R (III)

Etapas:

- 1 Formação da matriz \mathbf{Y}_{barra} ;
- 2 Definição da estrutura das submatrizes da matriz Jacobiana;

Fluxo de Potência pelo método de N-R (III)

Etapas:

- 1 Formação da matriz \mathbf{Y}_{barra} ;
- 2 Definição da estrutura das submatrizes da matriz Jacobiana;
- 3 Cálculo das potências P_i^{calc} e Q_i^{calc} injetadas nas barras;

Fluxo de Potência pelo método de N-R (III)

Etapas:

- 1 Formação da matriz \mathbf{Y}_{barra} ;
- 2 Definição da estrutura das submatrizes da matriz Jacobiana;
- 3 Cálculo das potências P_i^{calc} e Q_i^{calc} injetadas nas barras;
- 4 Cálculo dos resíduos de potência ativa e reativa;

Fluxo de Potência pelo método de N-R (III)

Etapas:

- 1 Formação da matriz \mathbf{Y}_{barra} ;
- 2 Definição da estrutura das submatrizes da matriz Jacobiana;
- 3 Cálculo das potências P_i^{calc} e Q_i^{calc} injetadas nas barras;
- 4 Cálculo dos resíduos de potência ativa e reativa;
- 5 Cálculo dos valores numéricos dos elementos da matriz Jacobiana;

Fluxo de Potência pelo método de N-R (III)

Etapas:

- 1 Formação da matriz \mathbf{Y}_{barra} ;
- 2 Definição da estrutura das submatrizes da matriz Jacobiana;
- 3 Cálculo das potências P_i^{calc} e Q_i^{calc} injetadas nas barras;
- 4 Cálculo dos resíduos de potência ativa e reativa;
- 5 Cálculo dos valores numéricos dos elementos da matriz Jacobiana;
- 6 Formação e solução do sistema linear $\mathbf{F} \begin{bmatrix} \Delta\delta \\ \Delta\mathbf{V}/\mathbf{V} \end{bmatrix} = \begin{bmatrix} \Delta\mathbf{P} \\ \Delta\mathbf{Q} \end{bmatrix}$;

Fluxo de Potência pelo método de N-R (III)

Etapas:

- 1 Formação da matriz \mathbf{Y}_{barra} ;
- 2 Definição da estrutura das submatrizes da matriz Jacobiana;
- 3 Cálculo das potências P_i^{calc} e Q_i^{calc} injetadas nas barras;
- 4 Cálculo dos resíduos de potência ativa e reativa;
- 5 Cálculo dos valores numéricos dos elementos da matriz Jacobiana;
- 6 Formação e solução do sistema linear $\mathbf{F} \begin{bmatrix} \Delta\delta \\ \Delta\mathbf{V}/\mathbf{V} \end{bmatrix} = \begin{bmatrix} \Delta\mathbf{P} \\ \Delta\mathbf{Q} \end{bmatrix}$;
- 7 Atualização de δ e \mathbf{V} .

1. Formação da Matriz de Admitância das Barras

Matriz Y_{barra}

- Cálculo das **admitâncias série**:

Linha	De	Para	$Z_{série}$	$Y_{série}$	b_{shunt}
1	1	3	$0,010 + j0,10$	$0,9900 - j9,90$	$0,02$
2	1	2	$0,020 + j0,20$	$0,4950 - j4,95$	$0,01$
3	2	3	$0,010 + j0,10$	$0,9900 - j9,90$	0
4	3	4	$0,002 + j0,40$	$0,0125 - j2,49$	0
5	2	4	$0,030 + j0,20$	$0,7335 - j4,89$	0

- Matriz Y_{barra} :

$$\begin{bmatrix} 1,48 - j14,84 & -0,49 + j4,95 & -0,99 + j9,90 & 0 \\ -0,49 + j4,95 & 2,22 - j19,74 & -0,99 + j9,90 & -0,73 + j4,89 \\ -0,99 + j9,90 & -0,99 + j9,90 & 1,99 - j22,29 & -0,012 + j2,50 \\ 0 & -0,73 + j4,89 & -0,012 + j2,50 & 0,75 - j7,39 \end{bmatrix}$$

2. Estrutura das submatrizes da matriz Jacobiana (I)

Submatriz \mathbf{H}

- Definida como

$$\mathbf{H} = \left[\frac{\partial \mathbf{P}_{PV \text{ e } PQ}}{\partial \delta} \right] \implies H_{ik} = \frac{\partial P_i}{\partial \delta_k}$$

- *Linhas*: correspondem a todas as barras exceto a barra de folga;
- *Colunas*: correspondem aos ângulos de todas as barras \neq barra de folga;
- Considerando que no exemplo a barra de folga é a barra 1 :

$$\mathbf{H} = \begin{bmatrix} H_{22} & H_{23} & H_{24} \\ H_{32} & H_{33} & H_{34} \\ H_{42} & H_{43} & H_{44} \end{bmatrix}$$

Atenção: Os subscritos i e j em H_{ij} são **índices lógicos** (correspondem a índices de barra) e não **índices físicos** de posição na matriz \mathbf{H} !

2. Estrutura das submatrizes da matriz Jacobiana (II)

Submatriz \mathbf{J}

- Definida como

$$\mathbf{J} = \frac{\partial \mathbf{Q}_{PQ}}{\partial \delta} \implies J_{ik} = \frac{\partial Q_i}{\partial \delta_k}$$

2. Estrutura das submatrizes da matriz Jacobiana (II)

Submatriz \mathbf{J}

- Definida como

$$\mathbf{J} = \frac{\partial \mathbf{Q}_{PQ}}{\partial \delta} \implies J_{ik} = \frac{\partial Q_i}{\partial \delta_k}$$

- *Linhas*: correspondem apenas à barra PQ ;

2. Estrutura das submatrizes da matriz Jacobiana (II)

Submatriz J

- Definida como

$$\mathbf{J} = \frac{\partial \mathbf{Q}_{PQ}}{\partial \delta} \implies J_{ik} = \frac{\partial Q_i}{\partial \delta_k}$$

- *Linhas*: correspondem apenas à barra PQ ;
- *Colunas*: correspondem aos ângulos de todas as barras \neq barra de folga;

2. Estrutura das submatrizes da matriz Jacobiana (II)

Submatriz \mathbf{J}

- Definida como

$$\mathbf{J} = \frac{\partial \mathbf{Q}_{PQ}}{\partial \delta} \implies J_{ik} = \frac{\partial Q_i}{\partial \delta_k}$$

- *Linhas*: correspondem apenas à barra PQ ;
- *Colunas*: correspondem aos ângulos de todas as barras \neq barra de folga;
- Para o exemplo (barra de folga = barra 1):

$$\mathbf{J} = \begin{bmatrix} J_{22} & J_{23} & J_{24} \\ J_{42} & J_{43} & J_{44} \end{bmatrix}$$

2. Estrutura das submatrizes da matriz Jacobiana (III)

Submatriz \mathbf{N}

- Definida como

$$\mathbf{N} = \mathbf{V} \times \frac{\partial \mathbf{P}_{PV \text{ e } PQ}}{\partial \mathbf{V}} \implies N_{ik} = V_k \frac{\partial P_i}{\partial V_k}$$

2. Estrutura das submatrizes da matriz Jacobiana (III)

Submatriz **N**

- Definida como

$$\mathbf{N} = \mathbf{V} \times \frac{\partial \mathbf{P}_{PV \text{ e } PQ}}{\partial \mathbf{V}} \implies N_{ik} = V_k \frac{\partial P_i}{\partial V_k}$$

- *Linhas*: correspondem a todas as barras exceto a barra de folga;

2. Estrutura das submatrizes da matriz Jacobiana (III)

Submatriz **N**

- Definida como

$$\mathbf{N} = \mathbf{V} \times \frac{\partial \mathbf{P}_{PV \text{ e } PQ}}{\partial \mathbf{V}} \implies N_{ik} = V_k \frac{\partial P_i}{\partial V_k}$$

- *Linhas*: correspondem a todas as barras exceto a barra de folga;
- *Colunas*: correspondem às tensões das barras PQ ;

2. Estrutura das submatrizes da matriz Jacobiana (III)

Submatriz \mathbf{N}

- Definida como

$$\mathbf{N} = \mathbf{V} \times \frac{\partial \mathbf{P}_{PV} \text{ e } PQ}{\partial \mathbf{V}} \implies N_{ik} = V_k \frac{\partial P_i}{\partial V_k}$$

- *Linhas*: correspondem a todas as barras exceto a barra de folga;
- *Colunas*: correspondem às tensões das barras PQ ;
- Para o exemplo (barra de folga = barra 1):

$$\mathbf{N} = \begin{bmatrix} N_{22} & N_{24} \\ N_{32} & N_{34} \\ N_{42} & N_{44} \end{bmatrix}$$

2. Estrutura das submatrizes da matriz Jacobiana (IV)

Submatriz \mathbf{L}

- Definida como

$$\mathbf{L} = \mathbf{V} \times \frac{\partial \mathbf{Q}_{PQ}}{\partial \mathbf{V}} \implies L_{ik} = V_k \frac{\partial Q_i}{\partial V_k}$$

2. Estrutura das submatrizes da matriz Jacobiana (IV)

Submatriz \mathbf{L}

- Definida como

$$\mathbf{L} = \mathbf{V} \times \frac{\partial \mathbf{Q}_{PQ}}{\partial \mathbf{V}} \implies L_{ik} = V_k \frac{\partial Q_i}{\partial V_k}$$

- *Linhas*: correspondem apenas à barra PQ ;

2. Estrutura das submatrizes da matriz Jacobiana (IV)

Submatriz \mathbf{L}

- Definida como

$$\mathbf{L} = \mathbf{V} \times \frac{\partial \mathbf{Q}_{PQ}}{\partial \mathbf{V}} \implies L_{ik} = V_k \frac{\partial Q_i}{\partial V_k}$$

- *Linhas*: correspondem apenas à barra PQ ;
- *Colunas*: correspondem às tensões das barras PQ ;

2. Estrutura das submatrizes da matriz Jacobiana (IV)

Submatriz \mathbf{L}

- Definida como

$$\mathbf{L} = \mathbf{V} \times \frac{\partial \mathbf{Q}_{PQ}}{\partial \mathbf{V}} \implies L_{ik} = V_k \frac{\partial Q_i}{\partial V_k}$$

- *Linhas*: correspondem apenas à barra PQ ;
- *Colunas*: correspondem às tensões das barras PQ ;
- Para o exemplo (barra de folga = barra 1):

$$\mathbf{J} = \begin{bmatrix} L_{22} & L_{24} \\ L_{42} & L_{44} \end{bmatrix}$$

3. Potências ativa e reativa injetadas nas barras (I)

As expressões originais para as injeções de potência ativa e reativa:

$$P_i^{calc} = \sum_{k=1}^N V_i V_k (G_{ik} \cos \delta_{ik} + B_{ik} \sin \delta_{ik})$$

$$Q_i^{calc} = \sum_{k=1}^N V_i V_k (G_{ik} \sin \delta_{ik} - B_{ik} \cos \delta_{ik})$$

podem ser re-escritas como

$$P_i^{calc} = G_{ii} V_i^2 + \sum_{k \neq i} V_i V_k (G_{ik} \cos \delta_{ik} + B_{ik} \sin \delta_{ik})$$

$$Q_i^{calc} = -B_{ii} V_i^2 + \sum_{k \neq i} V_i V_k (G_{ik} \sin \delta_{ik} - B_{ik} \cos \delta_{ik})$$

3. Potências ativa e reativa injetadas nas barras (II)

- Considerando que os ângulos de fase das tensões nodais são todos inicializados como 0° :

$$P_i^{calc} = G_{ii} V_i^2 + \sum_{k \neq i} V_i V_k G_{ik}$$

$$Q_i^{calc} = -B_{ii} V_i^2 - \sum_{k \neq i} V_i V_k B_{ik}$$

3. Potências ativa e reativa injetadas nas barras (III)

Para a barra 2, considerando que

$$V_1^{(0)} = V_2^{(0)} = V_4^{(0)} = 1,0 \text{ e } V_3^{(0)} = 1,02 ,$$

$$\begin{aligned} G_{22} &= 2,2186 & G_{21} &= -0,4950 & G_{23} &= -0,9901 & G_{24} &= -0,7335 \\ B_{22} &= -19,7365 & B_{21} &= 4,9505 & B_{23} &= 9,9010 & B_{24} &= 4,8900 \end{aligned}$$

temos:

$$\begin{aligned} P_2^{calc} &= G_{22} V_2^2 + G_{12} V_1 V_2 + G_{23} V_1 V_3 + G_{24} V_1 V_4 \\ &= 2,2186 \times 1,0^2 - 0,4950 \times 1,0^2 - 0,9901 \times 1,0 \times 1,02 - \\ &\quad 0,7335 \times 1,0^2 = -0,0198 \end{aligned}$$

$$\begin{aligned} Q_2^{calc} &= -B_{22} V_2^2 - B_{12} V_1 V_2 - B_{23} V_1 V_3 - B_{24} V_1 V_4 \\ &= -(-19,7365) \times 1,0^2 - 4,9505 \times 1,0^2 - 9,9010 \times 1,0 \times 1,02 - \\ &\quad 4,8900 \times 1,0^2 = -0,2030 \end{aligned}$$

Potências ativa e reativa injetadas nas barras (IV)

- Adotando o mesmo procedimento para todas as barras, obtemos:

Barra	P_i^{calc}	Q_i^{calc}
2	-0,0198	-0,2030
3	0,0406	0,4440
4	-0,0002	-0,0500

- Considerando que

$$\Delta P_i = P_i^{espec} - P_i^{calc} \quad \text{e} \quad \Delta Q_i = Q_i^{espec} - Q_i^{calc},$$

os resíduos na primeira iteração podem ser então obtidos:

Barra	P_{g_i}	Q_{g_i}	P_{L_i}	Q_{L_i}	P_i^{espec}	Q_i^{espec}	ΔP_i	ΔQ_i
2	0,0	0,0	1,5	0,3	-1,5	-0,3	-1,4802	-0,0970
3	1,2	-	0,3	0,0	0,9	-	0,8593	0,4440
4	0,0	0,0	0,5	0,4	-0,5	-0,4	-0,4998	-0,3500

Valores numéricos da matriz Jacobiana (I)

Submatriz H (I)

- Elementos diagonais: $H_{ii} = -V_i^2 B_{ii} - Q_i^{calc}$

$$H_{22} = -1,0^2 \times (-19,7365) - (-0,203) = 19,9395$$

$$H_{33} = -1,02^2 \times (-22,292) - 0,444 = 22,7480$$

$$H_{44} = -1,0^2 \times (-7,3900) - (-0,050) = 7,4400$$

Valores numéricos da matriz Jacobiana (I)

Submatriz H (I)

- Elementos diagonais: $H_{ii} = -V_i^2 B_{ii} - Q_i^{calc}$

$$H_{22} = -1,0^2 \times (-19,7365) - (-0,203) = 19,9395$$

$$H_{33} = -1,02^2 \times (-22,292) - 0,444 = 22,7480$$

$$H_{44} = -1,0^2 \times (-7,3900) - (-0,050) = 7,4400$$

- Elementos fora da diagonal, considerando $\delta_i = 0$ (1ª. iteração):

$$H_{ik} = -B_{ik} V_i V_k$$

$$H_{23} = -1,0 \times 1,02 \times 9,9010 = -10,0990$$

$$H_{24} = -1,0 \times 1,0 \times 4,8900 = -4,8900$$

$$H_{32} = -1,02 \times 1,0 \times 9,9010 = -10,0990$$

$$H_{34} = -1,02 \times 1,0 \times 9,9010 = -2,5499$$

$$H_{42} = -1,0 \times 1,0 \times 4,8900 = -4,8900$$

$$H_{43} = -1,0 \times 1,02 \times 9,9010 = -2,5499$$

Valores numéricos da matriz Jacobiana (II)

Submatriz H (II)

$$\mathbf{H} = \begin{bmatrix} 19,9395 & -10,0990 & -4,8900 \\ -10,0990 & 22,7480 & -2,5499 \\ -4,8900 & -2,5499 & 7,4400 \end{bmatrix}$$

Valores numéricos da matriz Jacobiana (III)

Submatriz J

- As expressões para os elementos de **J** são dados por:

- Para $i = k$:

$$J_{ii} = -V_i^2 G_{ii} + P_i^{calc}$$

- Para $i \neq k$, com $\delta_i = 0$ (1ª. iteração):

$$J_{ik} = -B_{ik} V_i V_k$$

- Substituindo os valores já determinados, obtém-se:

$$\mathbf{J} = \begin{bmatrix} -2,2384 & 1,0099 & 0,7335 \\ 0,7335 & 0,0127 & -0,7462 \end{bmatrix}$$

Valores numéricos da matriz Jacobiana (IV)

Submatriz N

- As expressões para os elementos de **N** são dados por:

- Para $i = k$:

$$N_{ii} = V_i^2 G_{ii} + P_i^{calc}$$

- Para $i \neq k$, com $\delta_i = 0$ (1ª. iteração):

$$N_{ik} = -J_{ik}$$

- Substituindo os valores já determinados, obtém-se:

$$\mathbf{J} = \begin{bmatrix} 2,1988 & -0,7335 \\ -1,0099 & -0,0127 \\ -0,7335 & 0,7457 \end{bmatrix}$$

Valores numéricos da matriz Jacobiana (V)

Submatriz L

- As expressões para os elementos de **L** são dados por:

- Para $i = k$:

$$N_{ii} = -V_i^2 B_{ii} + Q_i^{calc}$$

- Para $i \neq k$, com $\delta_i = 0$ (1^a iteração):

$$N_{ik} = H_{ik}$$

- Substituindo os valores já determinados, obtém-se:

$$\mathbf{J} = \begin{bmatrix} 19,5334 & -4,8900 \\ -4,8900 & 7,3399 \end{bmatrix}$$

Matriz Jacobiana calculada

$$\mathbf{F} = \begin{bmatrix} \mathbf{H} & \mathbf{N} \\ \mathbf{J} & \mathbf{L} \end{bmatrix}$$

$$\mathbf{F} = \begin{bmatrix} \mathbf{19,9395} & \mathbf{-10,0990} & \mathbf{-4,8900} & 2,1988 & -0,7335 \\ \mathbf{-10,0990} & \mathbf{22,7480} & \mathbf{-2,5499} & -1,0099 & -0,0127 \\ \mathbf{-4,8900} & \mathbf{-2,5499} & \mathbf{7,4399} & -0,7335 & 0,7457 \\ -2,2384 & 1,0099 & 0,7335 & \mathbf{19,5334} & \mathbf{-4,8900} \\ 0,7335 & 0,0127 & -0,7462 & \mathbf{-4,8900} & \mathbf{7,3399} \end{bmatrix}$$

Sistema linear da primeira iteração

$$\mathbf{F} \begin{bmatrix} \Delta\delta \\ \Delta\mathbf{V}/\mathbf{V} \end{bmatrix} = \begin{bmatrix} \Delta\mathbf{P} \\ \Delta\mathbf{Q} \end{bmatrix}$$

$$\begin{bmatrix} 19,9395 & -10,0990 & -4,8900 & 2,1988 & -0,7335 \\ -10,0990 & 22,7480 & -2,5499 & -1,0099 & -0,0127 \\ -4,8900 & -2,5499 & 7,4399 & -0,7335 & 0,7457 \\ -2,2384 & 1,0099 & 0,7335 & 19,5334 & -4,8900 \\ 0,7335 & 0,0127 & -0,7462 & -4,8900 & 7,3399 \end{bmatrix} \begin{bmatrix} \Delta\delta_2 \\ \Delta\delta_3 \\ \Delta\delta_4 \\ \Delta V_2/V_2 \\ \Delta V_4/V_4 \end{bmatrix}$$

$$= \begin{bmatrix} 1,4802 \\ 0,8593 \\ -0,4998 \\ -0,0970 \\ -0,3500 \end{bmatrix}$$

Solução da primeira iteração

- Resolvendo o sistema linear anterior, obtêm-se:

$$\begin{aligned}\Delta\delta &= \begin{bmatrix} -0,1363 & -0,0428 & -0,1672 \end{bmatrix}^T \\ \Delta\mathbf{V}/\mathbf{V} &= \begin{bmatrix} -0,0298 & -0,0709 \end{bmatrix}^T\end{aligned}$$

Solução da primeira iteração

- Resolvendo o sistema linear anterior, obtêm-se:

$$\begin{aligned}\Delta\delta &= \begin{bmatrix} -0,1363 & -0,0428 & -0,1672 \end{bmatrix}^T \\ \Delta\mathbf{V}/\mathbf{V} &= \begin{bmatrix} -0,0298 & -0,0709 \end{bmatrix}^T\end{aligned}$$

- Ângulos e magnitudes das tensões corrigidas ao final da 1^a. iteração:

$$\begin{aligned}\delta^{(1)} &= \delta^{(0)} + \Delta\delta \\ \mathbf{V}^{(1)} &= \mathbf{V}^{(0)} + \mathbf{V}^{(0)} \times \left(\frac{\Delta\mathbf{V}}{\mathbf{V}}\right)\end{aligned}$$

$$\begin{aligned}\delta^{(1)} &= \begin{bmatrix} \delta_2^{(1)} & \delta_3^{(1)} & \delta_4^{(1)} \end{bmatrix}^T = \begin{bmatrix} -0,1363 & -0,0428 & -0,1672 \end{bmatrix}^T \\ \mathbf{V}^{(1)} &= \begin{bmatrix} V_2^{(1)} & V_4^{(1)} \end{bmatrix}^T = \begin{bmatrix} 0,9702 & 0,9291 \end{bmatrix}^T\end{aligned}$$

Solução da primeira iteração

- Resolvendo o sistema linear anterior, obtêm-se:

$$\begin{aligned}\Delta\delta &= \begin{bmatrix} -0,1363 & -0,0428 & -0,1672 \end{bmatrix}^T \\ \Delta\mathbf{V}/\mathbf{V} &= \begin{bmatrix} -0,0298 & -0,0709 \end{bmatrix}^T\end{aligned}$$

- Ângulos e magnitudes das tensões corrigidas ao final da 1^a. iteração:

$$\begin{aligned}\delta^{(1)} &= \delta^{(0)} + \Delta\delta \\ \mathbf{V}^{(1)} &= \mathbf{V}^{(0)} + \mathbf{V}^{(0)} \times \left(\frac{\Delta\mathbf{V}}{\mathbf{V}}\right)\end{aligned}$$

$$\begin{aligned}\delta^{(1)} &= \begin{bmatrix} \delta_2^{(1)} & \delta_3^{(1)} & \delta_4^{(1)} \end{bmatrix}^T = \begin{bmatrix} -0,1363 & -0,0428 & -0,1672 \end{bmatrix}^T \\ \mathbf{V}^{(1)} &= \begin{bmatrix} V_2^{(1)} & V_4^{(1)} \end{bmatrix}^T = \begin{bmatrix} 0,9702 & 0,9291 \end{bmatrix}^T\end{aligned}$$

- Valores do ângulo da barra de folga, δ_1 , e tensões V_1 e V_3 , permanecem iguais aos seus valores especificados.